

ФИЗИКА

УДК 537.525.99

## ПОДДЕРЖАНИЕ СВЧ-РАЗРЯДА В ПОЛОЙ СЕРДЦЕВИНЕ ВОЛОКОННЫХ СВЕТОВОДОВ ДЛЯ ГАЗОВЫХ ВОЛОКОННЫХ ЛАЗЕРОВ

© 2023 г. Член-корреспондент РАН И. А. Буфетов<sup>1,\*</sup>, А. В. Гладышев<sup>1</sup>, С. М. Нефедов<sup>2</sup>, А. Ф. Косолапов<sup>1</sup>, В. В. Вельмискин<sup>1</sup>, П. А. Гончаров<sup>2</sup>, А. П. Минеев<sup>2</sup>

Поступило 02.12.2022 г.

После доработки 02.12.2022 г.

Принято к публикации 09.12.2022 г.

Впервые измерены минимальные значения напряженности электрического СВЧ-поля частотой 2.45 ГГц, необходимые для поддержания разряда в ряде благородных газов (argon, неон и гелий) в волоконных световодах с полыми сердцевинами малого диаметра вплоть до 100 мкм. Минимальные значения напряженности составляют для всех трех газов (2.5–2.8) кВ/см при давлении аргона ~50 торр, неона ~300 торр и гелия ~500 торр.

**Ключевые слова:** световоды с полой сердцевиной, газоразрядный волоконный лазер, СВЧ-разряд

**DOI:** 10.31857/S2686740023020037, **EDN:** UOZEIC

### ВВЕДЕНИЕ

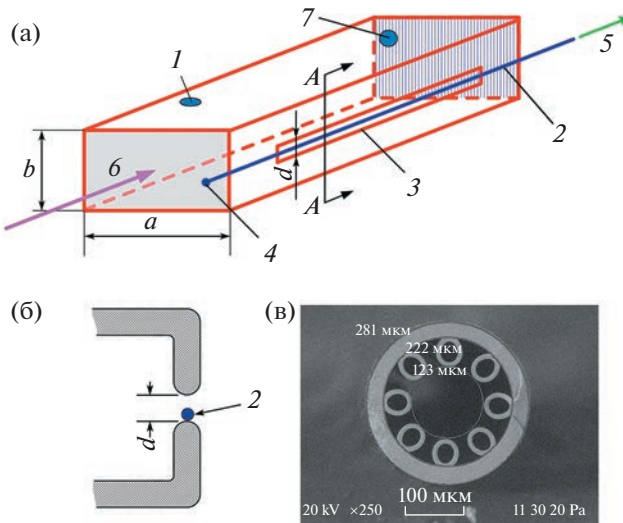
Волоконные световоды с полой сердцевиной (СПС) позволили существенно расширить возможности волоконных лазеров, обычно создаваемых на основе световодов с твердотельной сердцевиной. Например, следствием бурного развития СПС стало создание газовых волоконных лазеров, генерирующих в УФ- [1] и среднем ИК-диапазонах [1–4], даже несмотря на то, что оболочка СПС изготовлена из кварцевого стекла, имеющего сильное фундаментальное поглощение в этих областях спектра. При заполнении полой сердцевины рамановски-активными газами была продемонстрирована генерация одномодового излучения в среднем ИК-диапазоне [2]. При этом большая величина рамановского сдвига частоты в легких молекулярных газах позволяет преобразовывать излучение из ближнего в средний ИК-диапазон всего лишь за 1–2 каскада (например, 1.56 → 4.4 мкм [2] или 1.03 → 1.49 → 2.68 мкм [3]). Появилась также возможность использовать газы, заполняющие полую сердцевину, в качестве активной среды путем создания в них инверсной заселенности (например, [4]). Но подобные схемы лазеров до настоящего времени удалось реа-

лизовать с использованием только оптической накачки. Учитывая многие положительные качества волоконных лазеров, в качестве источников накачки часто используются именно волоконные лазеры, но со стеклянной сердцевиной. Поэтому характеристики газовых волоконных лазеров (ГВЛ) ограничиваются предельными характеристиками лазера накачки. Для того чтобы в полной мере реализовать возможности полых световодов (устойчивость к высокointенсивному излучению, широкий спектральный диапазон пропускания и т.д.) в полностью волоконных оптических схемах, необходимо решить задачу генерации лазерного излучения непосредственно в СПС, не используя в качестве источника накачки другие волоконные лазеры на световодах с твердотельной сердцевиной с присущими им ограничениями.

Возможным решением этой задачи является создание газоразрядных волоконных лазеров (ГРВЛ) [5]. Но здесь возникает противоречие: для обеспечения световодных свойств СПС в среднем ИК-диапазоне диаметр их полой сердцевины должен быть порядка 100 мкм, а уменьшение диаметра газоразрядного канала до величин менее примерно 500 мкм приводит к резкому возрастанию потерь электронов из разряда и, как следствие, к значительному увеличению необходимых значений электрического поля для поддержания разряда. Например, для поддержания разряда постоянного тока в световоде с диаметром полой сердцевины  $d_c = 120$  мкм и длиной до 1 м оказалось необходимым использовать напряжение порядка 40 кВ [6]. Первые исследования возбуждения плазмы СВЧ-разряда в СПС продемон-

<sup>1</sup> Федеральный исследовательский центр  
“Институт общей физики им. А.М. Прохорова  
Российской академии наук”, Научный центр волоконной  
оптики им. Е.М. Дианова, Москва, Россия

<sup>2</sup> Федеральный исследовательский центр  
“Институт общей физики им. А.М. Прохорова  
Российской академии наук”, Москва, Россия  
\*E-mail: iabuf@fo.gpi.ru



**Рис. 1.** а – Схема эксперимента. 1 – секция прямоугольного СВЧ-волновода,  $a = 9$  см,  $b = 4.5$  см, 2 – СПС, 3 – продольная щель в узкой стороне волновода длиной 30 см, 4 – запаянный конец СПС, 5 – подсоединение СПС к вакуумной системе и к системе заполнения газами, 6 – направление распространения  $\text{H}_{10}$  волны по волноводу от магнетрона, 7 – закорачивающий поршень для отражения излучения и формирования стоячей волны в волноводе; б – частичное сечение СВЧ-волновода по А–А, показывающее закругленную форму краев щели и положение СПС в щели во время эксперимента; в – изображение поперечного сечения СПС, полученное на сканирующем электронном микроскопе,  $d_c = 125$  мкм.

стрировали возможность такого подхода [7]. Но с помощью выбранной в работе [7] схемы, основанной на передаче энергии в разряд за счет возбуждения поверхностной электромагнитной волны, распространяющейся вдоль СПС, не удалось возбудить разряд в СПС на длине более 4 см [8]. По-видимому, причиной этого являются потери энергии при распространении поверхностной волны вдоль плазменного столба в СПС. Наконец, совсем недавно было предложено использовать схему, подобную щелевой антенне в СВЧ-волноводе, для возбуждения разряда в СПС. С помощью этой схемы была продемонстрирована возможность поддерживать СВЧ-разряд длиной 25 см при средней мощности СВЧ-накачки менее 20 Вт и указана очевидная возможность кратного увеличения длины разряда в СПС с использованием той же схемы [9].

Для дальнейших работ по реализации схемы ГРВЛ необходимо определить диапазон параметров (давление, напряженность электрического поля), при которых возможно поддержание СВЧ-разряда в СПС для различных газов, перспективных с точки зрения использования в качестве активной среды ГРВЛ.

Основы теории СВЧ-разрядов хорошо известны (см., например, [10]). Условия электрического пробоя и поддержания разряда определяются равновесием между процессами рождения и ухода свободных электронов из разрядного объема. При сравнительно высоких давлениях и малых диаметрах цилиндрического разрядного объема потери электронов из разряда обусловлены, главным образом, процессом диффузии электронов. Этот процесс характеризуется коэффициентом диффузии электронов, определяемым свойствами газа, и диффузионной длиной  $\Lambda$ , определяемой геометрией разрядного объема. Для длинных цилиндрических объемов (к которым близки рассматриваемые СПС) диффузионная длина пропорциональна радиусу цилиндра  $R$ :  $\Lambda = R/2.405$  [10]. В случае СПС в качестве начального приближения можно считать, что диаметр полой сердцевины  $d_c$  является диаметром соответствующего цилиндрического объема ( $d_c = 2R$ ). Уменьшение величины  $\Lambda$  ведет к повышению потерь электронов из разряда и, соответственно, к повышению минимальной величины напряженности ( $E$ ) электрического поля, достаточного как для пробоя газа ( $E_{BD}$ ), так и для поддержания уже инициированного СВЧ-разряда ( $E_M$ ). Как правило, для поддержания разряда требуется меньшая напряженность поля, чем для пробоя ( $E_M < E_{BD}$ ) [11].

В литературе имеется большой объем данных о величинах напряженности электрического СВЧ-поля, достаточного для формирования плазмы (иначе говоря, для пробоя) в зависимости от давления для различных газов (см., например, [10]). Но все они получены для геометрии разряда, характеризуемой величиной диффузионной длины не менее 0.5 мм. В случае же СПС с диаметром полой сердцевины порядка 100 мкм диффузионная длина значительно меньше –  $\Lambda \sim 20$  мкм, что существенно ужесточает требования к величине электрического поля для поддержания разряда по сравнению с ранее полученными данными.

Поэтому целью настоящей работы явилось экспериментальное исследование условий поддержания СВЧ-разряда в схеме, реализованной в работе [9], в различных благородных газах (аргон, неон, гелий) при различном давлении и в СПС с различными величинами  $d_c$ .

## ОПИСАНИЕ ЭКСПЕРИМЕНТА

В наших экспериментах СПС, заполненный чистым инертным газом (гелий, неон или аргон, количество примесей в которых не превышало  $10^{-3}\%$ ), размещался в щели на короткой стороне прямоугольного СВЧ-волновода (см. рис. 1а, б).

В качестве источника СВЧ-излучения, направляемого в волновод со щелью, использовался магнетрон, работающий на частоте  $v = 2.45$  ГГц в

импульсном режиме. Частота следования импульсов составляла 400 Гц, длительность импульса 20 мкс. Максимальная пиковая мощность в данных экспериментах не превышала 6 кВт. Более подробное описание источника СВЧ-излучения можно найти в [12].

СВЧ-волновод с размерами  $90 \times 45$  мм являлся одномодовым для излучения магнетрона, и по нему распространялась только волна типа  $H_{10}$ . По-перечные размеры волновода слишком велики по сравнению с диаметром сердцевины СПС ( $d_c \ll a, b$ ), чтобы плазма в сердцевине световода могла эффективно поглощать энергию СВЧ-поля. Поэтому для своеобразной фокусировки СВЧ-излучения на СПС мы использовали структуру типа щелевой антенны: продольную щель в узкой боковой стенке прямоугольного волновода, по которому распространялось СВЧ-излучение от магнетрона. Описание щелевых антенн можно найти, например, в [13]. Электрическое поле в щели направлено перпендикулярно ее длинной стороне, и поэтому необходимая разность потенциалов для поддержания разряда должна быть значительно ниже, чем в случае, если бы поле было направлено вдоль СПС.

В каждом эксперименте измерялась мощность СВЧ-излучения  $P$ , распространяющаяся по волноводу  $I$  (рис. 1а). Затем, в соответствии с выбранным приближением для расчета электрического поля в щели в зависимости от мощности, описанного в [9], определялась величина поля  $E(P)$  в отсутствие СВЧ-разряда. Разумеется, после зажигания разряда из-за электропроводности плазмы разряда поле в щели изменяется. Но в качестве характеристики каждого эксперимента по определению минимального значения электрического поля, необходимого для поддержания разряда в СПС, нами использовалась именно указанная выше величина  $E(P)$ . Дополнительную информацию об экспериментальной установке можно найти в [9].

В большинстве работ по изучению формирования плазмы под действием СВЧ-поля рассматривается процесс пробоя газа и определяется минимальное значение напряженности электрического поля, достаточное для достижения пробоя ( $E_{BD}$ ) (см., например, [14]). Нашей задачей в данной работе являлось определение минимально необходимых значений электрического поля СВЧ-излучения не для пробоя, а для поддержания плазмы в полой сердцевине световода ( $E_M$ ), что является необходимым условием для реализации ГРВЛ. Для всех типов разрядов, в том числе и СВЧ,  $E_M < E_{BD}$  [11]. Данное обстоятельство снижает требования к источнику СВЧ, что является благоприятным фактором. Поэтому мы после помещения СПС в СВЧ-поле с интенсивностью, недостаточной для пробоя, для инициирования

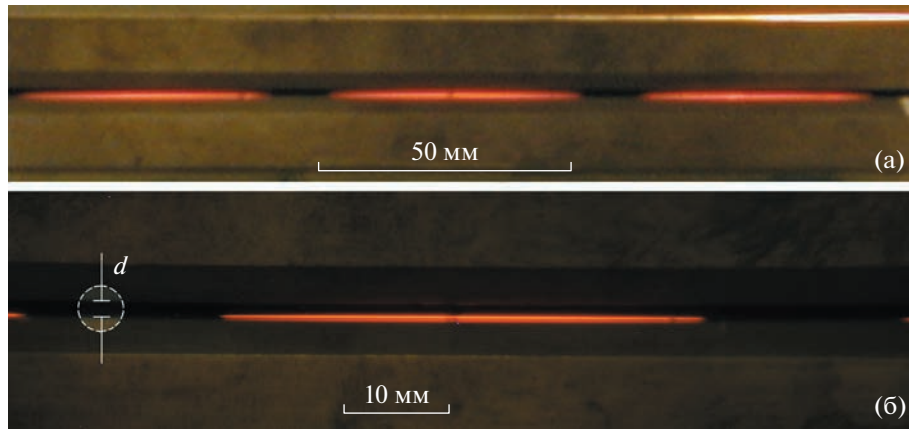
разряда кратковременно (в течение  $\sim 1$  с) облучали СПС УФ-излучением ртутной газоразрядной лампы. В результате, если напряженность электрического поля  $E$  превышала  $E_M$ , то разряд загорался. В противном случае величина поля еще несколько увеличивалась и облучение УФ-лампой повторялось. Величина поля  $E$  в щели регулировалась изменением мощности магнетрона, дополнительно величина  $E$  могла регулироваться за счет изменения ширины щели от 0.5 до 4 мм с помощью специальных накладок. В качестве порогового поля  $E_M$ , поддерживающего СВЧ-разряд, фиксировалось минимальное значение из определенных таким образом величин  $E$ .

На рис. 2 представлены фотографии СВЧ-разряда в СПС с  $d_c = 110$  мкм, заполненном неоном при давлении 30 торр. На рис. 2а, сделанном в более мелком масштабе, разряд в СПС отображает распределение поля в щели, обусловленное интерференцией падающей и отраженной волн в волноводе. На рис. 2б, сделанном в более крупном масштабе, видно положение СПС на нижнем крае щели.

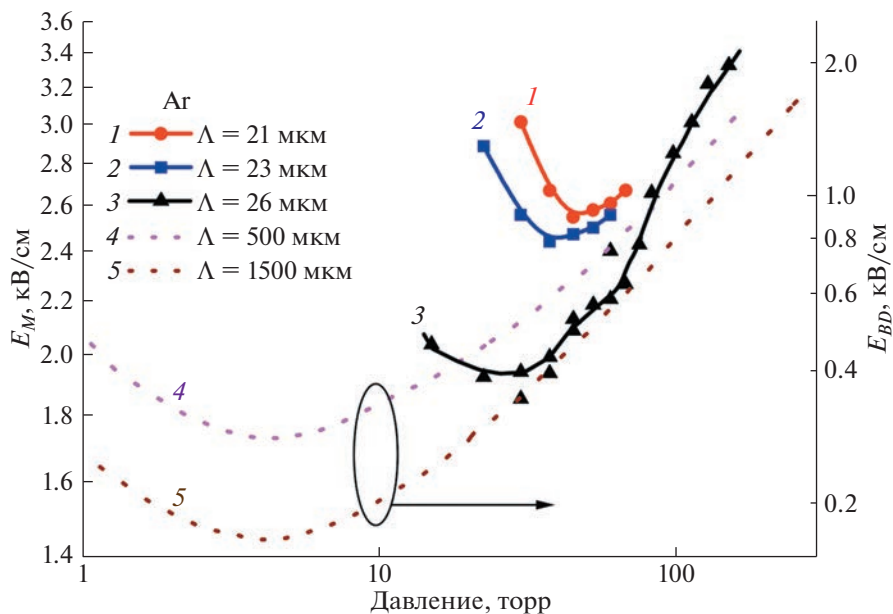
## РЕЗУЛЬТАТЫ

В результате выполненных экспериментов были определены значения электрических полей  $E_M$  для СПС, заполненных аргоном, неоном и гелием, в зависимости от давления газа  $p$  в сердцевине световода. Измерения проведены для СПС, диаметры сердцевины которых составляли  $d_c = 100$  мкм (соответствующий диффузионный параметр  $\Lambda = 21$  мкм), 110 мкм ( $\Lambda = 23$  мкм) и 125 мкм ( $\Lambda = 26$  мкм). Полученные данные для Ar, Ne и He приведены на рис. 3–5 соответственно. Кроме того, на каждом из этих рисунков, для сравнения, приведены ранее опубликованные данные по напряженности пробоя  $E_{BD}$  для тех же газов под действием СВЧ-излучения близкой частоты (2.8 ГГц) в экспериментах с геометрией, соответствующей, насколько нам известно, наименьшим имеющимся в литературе значениям диффузионного параметра. Но все эти значения  $\Lambda > 500$  мкм, и поэтому превышают значения  $\Lambda$  в наших экспериментах не менее чем в 20 раз.

Полученные данные, приведенные на рис. 3–5, показывают, что при переходе от больших разрядных объемов (с  $\Lambda \approx 1$  мм) к СПС ( $\Lambda \approx 20$  мкм) минимально необходимое для поддержания разряда значение электрического поля  $E_M$  увеличивается с величин порядка 250 В/см до 2.5–2.8 кВ/см (т.е. примерно на порядок величины) во всех исследованных газах. Отметим, что для оценки величины  $E_M$  при больших  $\Lambda$  мы используем имеющиеся в литературе данные по  $E_{BD}$ , полагая  $E_M \approx E_{BD}$ . Кроме того, минимум функции  $E_M(p)$  в СПС наблюдается при больших давлениях, чем в разрядных



**Рис. 2.** Фотографии СВЧ-разряда в СПС с диаметром сердцевины 110 мкм, заполненном неоном при давлении 30 торр и расположенным в щели стенки СВЧ-волновода: а – обзорное фото со сравнительно низким пространственным разрешением. Периодическая структура свечения связана с интерференцией распространяющихся СВЧ-волн; б – фотография с улучшенным пространственным разрешением. СПС расположен на нижнем крае щели. В левой части показана ширина щели в этом эксперименте,  $d = 1.5$  мм.



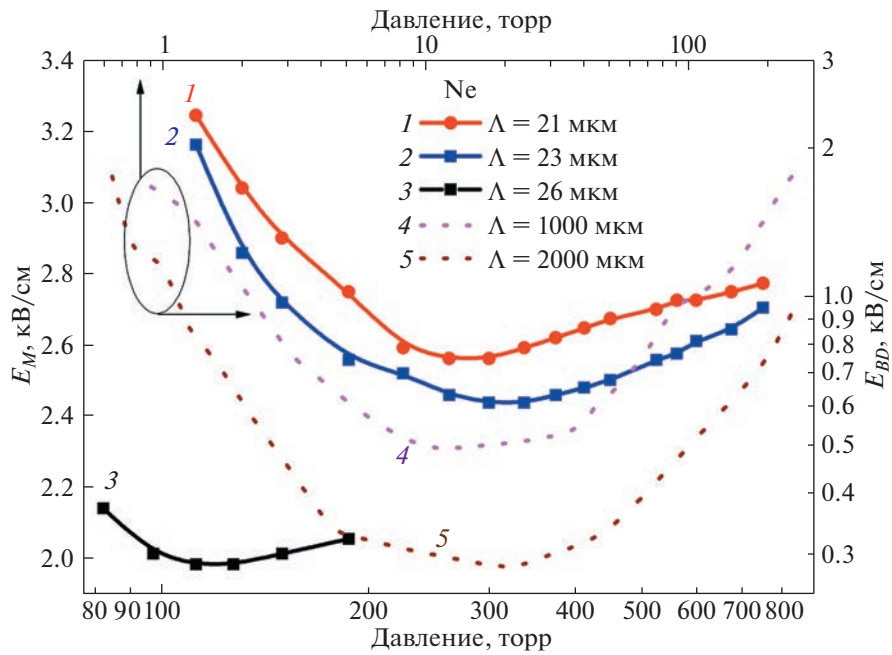
**Рис. 3.** Линии 1–3 (относятся к левой вертикальной оси): зависимости  $E_M(p)$  для СПС, заполненных аргоном, с указанными параметрами  $\Lambda$ . Линии 4–5 (относятся к правой вертикальной оси): зависимости  $E_{BD}(p)$  для аргона, приведенные в [10], но для геометрии эксперимента со значительно большими величинами  $\Lambda$ .

объемах с характерным размером порядка сантиметра. Для аргона оптимальное давление возрастает примерно на порядок, от 5 до 50 торр. Для неона и гелия это увеличение еще больше: от примерно 10 до 300 торр (неон) и до 500 торр (гелий).

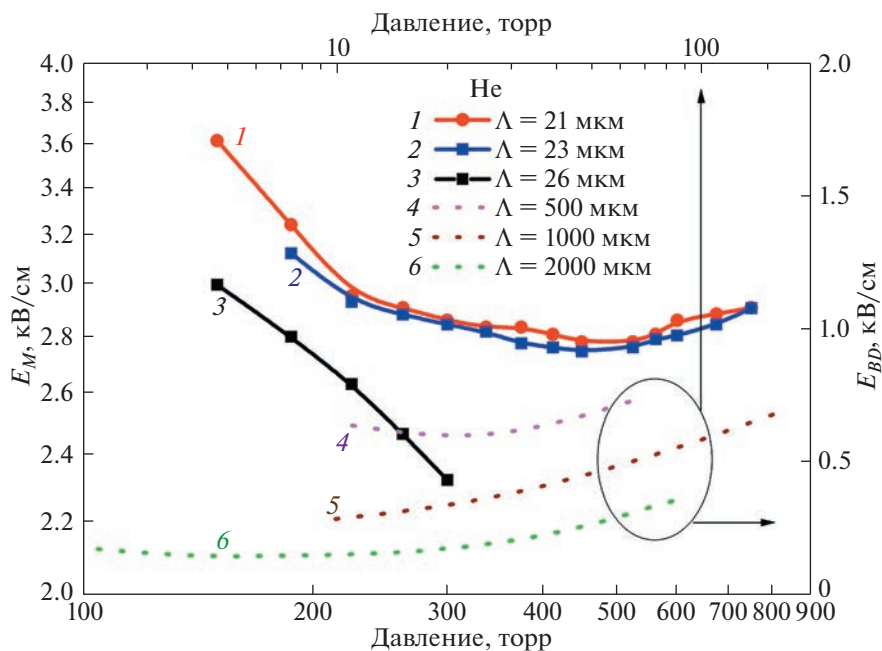
## ЗАКЛЮЧЕНИЕ

В настоящей работе впервые экспериментально определены области поддержания СВЧ-разряда в СПС с сердцевинами диаметром около 100 мкм, за-

полненными аргоном, неоном и гелием, в координатах “напряженность электрического поля” – “давление”. Определены оптимальные параметры СВЧ-поля и давления газа в сердцевине полых световодов для реализации накачки ГРВЛ на их основе. Для аргона это примерно 2.5 кВ/см – 50 торр, для неона: 2.5 кВ/см – 300 торр и для гелия: 2.8 кВ/см – 500 торр. Полученные высокие величины необходимых значений напряженности электрического поля однозначно указывают на необходимость использования для возбуждения газо-



**Рис. 4.** Линии 1–3 (относятся к левой и нижней осям): зависимости  $E_M(p)$  для СПС, заполненных неоном, с указанными параметрами  $\Lambda$ . Линии 4–5 (относятся к правой и верхней осям): зависимости  $E_{BD}(p)$  для неона, приведенные в [10], но для геометрии эксперимента со значительно большими величинами  $\Lambda$ .



**Рис. 5.** Линии 1–3 (относятся к левой и нижней осям): зависимости  $E_M(p)$  для СПС, заполненных гелием, с указанными параметрами  $\Lambda$ . Линии 4–6 (относятся к правой и верхней осям): зависимости  $E_{BD}(p)$  для гелия, приведенные в [10], но для геометрии эксперимента со значительно большими величинами  $\Lambda$ .

вого разряда электрического поля, направленного поперек световода, а не вдоль него. В противном случае необходимая разность потенциалов на половине длины волны СВЧ-излучения может составлять 15 кВ и более, что ограничит возможно-

сти применения таких ГРВЛ. Если же электрическое поле будет направлено поперек СПС (как в наших экспериментах), то при выборе ширины щели, равной диаметру полимерной оболочки СПС (в нашем случае для  $d_c = 100$  мкм это 360 мкм) раз-

ность потенциалов между верхней и нижней краями щели (см. рис. 2) не превысит 100 В.

## БЛАГОДАРНОСТИ

Авторы выражают благодарность сотрудникам УНУ “Волокно” ФИЦ ИОФ РАН за помощь в изготовлении и характеризации световодов с полой сердцевиной.

## ИСТОЧНИК ФИНАНСИРОВАНИЯ

Исследование выполнено за счет гранта Российского научного фонда № 22-19-00542, <https://rscf.ru/project/22-19-00542/>.

## СПИСОК ЛИТЕРАТУРЫ

1. *Joly N.Y., Nold J., Chang W., Hölzer P., Nazarkin A., Wong G.K.L., Biancalana F., Russell P. St.J.* Bright Spatially Coherent Wavelength-Tunable Deep-UV Laser Source Using an Ar-Filled Photonic Crystal Fiber // *Phys. Rev. Lett.* 2011. V. 106. 203901. <https://doi.org/10.1103/PhysRevLett.106.203901>
2. *Astapovich M.S., Gladyshev A.V., Khudyakov M.M., Kosolapov A.F., Likhachev M.E., Bufetov I.A.* Watt-Level Nanosecond 4.42- $\mu$ m Raman Laser Based on Silica Fiber // *IEEE Photonics Technol. Lett.* 2019. V. 31. P. 78–81.
3. *Gladyshev A., Yatsenko Yu., Kolyadin A., Kompanets V., Bufetov I.* Mid-infrared 10- $\mu$ J-level sub-picosecond pulse generation via stimulated Raman scattering in a gas-filled revolver fiber // *Opt. Mater. Express.* 2020. V. 10. P. 3081–3089. <https://doi.org/10.1364/OME.411364>
4. *Jones A.M., Fourcade-Dutin C., Mao C., Baumgart B., Nampoothiri A.VV., Campbell N., Wang Y., Benabid F., Rudolph W., Washburn B.R., Corvin K.L.* Characterization of mid-infrared emissions from  $C_2H_2$ , CO,  $CO_2$ , and HCN-filled hollow fiber lasers // *Proc. SPIE*. 2012. V. 8237. 82373Y. <https://doi.org/10.1117/12.909254>
5. *Shi X., Wang X.B., Jin W., Demokan M.S., Zhang X.L.* Progress toward a novel hollow-core fiber gas laser // *Proc. SPIE*. 2007. V. 6767. 67670H. <https://doi.org/10.1117/12.749510>
6. *Bateman S.A., Belardi W., Yu F., Webb C.E., Wadsworth W.J.* Gain from Helium-Xenon Discharges in Hollow Optical Fibres at 3 to 3.5  $\mu$ m // In Proceedings of the Conference on Lasers and Electro-Optics (CLEO). San Jose, CA, USA. 8–13 June 2014. STh5C.10. [https://doi.org/10.1364/CLEO\\_SI.2014.STh5C.10](https://doi.org/10.1364/CLEO_SI.2014.STh5C.10)
7. *Debord B., Gérôme F., Jamier R., Boisse-Laporte C., Leprince P., Leroy O., Blondy J.-M., Benabid F.* First Ignition of an UV Microwave Microplasma in Ar-filled Hollow-Core Photonic Crystal Fibers. ECOC. 2011. Mo.2.LeCervin.5. <https://doi.org/10.1364/ECOC.2011.Mo.2.LeCervin.5>
8. *Debord B., Amrani F., Vincetti L., Gérôme F., Benabid F.* Hollow-Core Fiber Technology: The Rising of “Gas Photonics” // *Fibers*. 2019. V. 7. 16. <https://doi.org/10.3390/fib7020016>
9. *Gladyshev A., Nefedov S., Kolyadin A., Kosolapov A., Velmiskin V., Mineev A., Bufetov I.* Microwave Discharge in Hollow Optical Fibers as a Pump for Gas Fiber Lasers // *Photonics*. 2022. V. 9. 752. <https://doi.org/10.3390/photonics9100752>
10. *Мак-Доналд А.* Сверхвысокочастотный пробой в газах. М.: Мир, 1969. 210 с.
11. *Райзер Ю.П.* Лазерная искра и распространение разрядов. М.: Наука, 1974. 308 с.
12. *Минеев А.П., Нefедов С.М., Пашинин П.П., Гончаров П.А., Киселев В.В., Стельмах О.М.* Многочастотные планарные лазеры среднего ИК-диапазона с импульсной СВЧ-накачкой // Квантовая электроника. 2020. Т. 50. С. 277–283.
13. *Silver S.* *Microwave Antenna Theory and Design / Silver S., Ed.* McGraw-Hill Book Co., Inc.: New York, NY, USA; Toronto, ON, Canada; London, UK, 1949. P. 257–333.
14. *Френсис Г.* Ионизационные явления в газах. М.: Атомиздат, 1964. 304 с.

## MICROWAVE DISCHARGE MAINTAINING IN THE HOLLOW CORE OPTICAL FIBERS FOR GAS FIBER LASERS

**Corresponding Member of the RAS I. A. Bufetov<sup>a</sup>, A. V. Gladyshev<sup>a</sup>, S. M. Nefedov<sup>b</sup>,  
A. F. Kosolapov<sup>a</sup>, V. V. Velmiskin<sup>a</sup>, P. A. Goncharov<sup>b</sup>, and A. P. Mineev<sup>b</sup>**

<sup>a</sup> *Prokhorov General Physics Institute of the Russian Academy of Sciences, Dianov Fiber Optics Research Center, Moscow, Russia*

<sup>b</sup> *Prokhorov General Physics Institute of the Russian Academy of Sciences, Moscow, Russia*

The minimal values of the electric 2.45 GHz microwave field, which are necessary to maintain a discharge in a number of noble gases (argon, neon, and helium) in optical fibers with hollow cores of small diameter up to 100  $\mu$ m, have been measured for the first time. The minimal electric field values for all three gases are (2.5–2.8) kV/cm at a pressure of argon ~50 Torr, neon ~300 Torr, and helium ~500 Torr.

**Keywords:** hollow-core fibers, gas-discharge fiber laser, microwave discharge